

# Two-Peak Emission Behavior of $12\text{CaO}\cdot7\text{Al}_2\text{O}_3:\text{Eu}^{3+}$

Duan-ting Yan, Dan Wang, Yu-xue Liu\*, Chun-guang Liu, Chang-shan Xu, Yi-chun Liu

Center for Advanced Opto-electronic Functional Materials Research, School of Physics, Northeast Normal University, Changchun, China

Email: yxliu@nenu.edu.cn

**Abstract:**  $12\text{CaO}\cdot7\text{Al}_2\text{O}_3:\text{Eu}$  powders were prepared by a chemical co-precipitation method. Stoichiometric  $\text{Al}(\text{NO}_3)_3\cdot9\text{H}_2\text{O}$  and  $\text{CaCl}_2$  were dissolved in deionized water, then the stoichiometric  $\text{Eu}(\text{NO}_3)_3$  aqueous solution was added to the mixed aqueous solution under magnetic stirring. The ammonia solution was added to the mixed aqueous solution until a white sol was obtained.  $12\text{CaO}\cdot7\text{Al}_2\text{O}_3:\text{Eu}$  powders were obtained after the sol precursor were annealed at  $1100^\circ\text{C}$  for 8 hours in air. From the excitation spectra and sites selective excitation spectra, the  $\text{Eu}^{3+}$  ions should occupy two types of sites in the C12A7 host. Maybe they are related to two types of Ca sites or to different charge compensation structures.

**Keywords:**  $12\text{CaO}\cdot7\text{Al}_2\text{O}_3(\text{C12A7})$ ; Eu; co-precipitation process; sites selective excitation spectra

## $\text{Eu}^{3+}$ 掺杂 $12\text{CaO}\cdot7\text{Al}_2\text{O}_3$ 样品的双峰发射

严端廷, 王丹, 刘玉学\*, 刘春光, 徐长山, 刘益春

东北师范大学 物理学院 先进光电子功能材料研究中心, 吉林 长春, 中国, 130024

Email: yxliu@nenu.edu.cn

**摘要:** 利用化学共沉淀法, 将化学计量比的  $\text{Al}(\text{NO}_3)_3\cdot9\text{H}_2\text{O}$  和  $\text{CaCl}_2$  溶于适量去离子水中形成混合盐溶液, 将化学计量比的  $\text{Eu}(\text{NO}_3)_3$  溶液添加到上述盐溶液中并充分搅拌, 滴加氨水, 经  $1100^\circ\text{C}$  保温 8 个小时, 制备了  $12\text{CaO}\cdot7\text{Al}_2\text{O}_3:\text{Eu}(\text{C12A7}: \text{Eu})$  粉末。通过研究激发光谱和选择激发发射谱, 表明  $\text{Eu}^{3+}$  在 C12A7 中占据两种不同的格位, 这可能源于电荷补偿体对晶格中  $\text{Eu}^{3+}$  所处环境的影响。

**关键词:**  $12\text{CaO}\cdot7\text{Al}_2\text{O}_3(\text{C12A7})$ ; Eu; 共沉淀法; 格位选择激发

## 1 引言

由于稀土的发光同基质材料的带隙宽度有关, 即基质材料的带隙越宽, 发光的温度猝灭效应越弱<sup>0</sup>。很多半导体及绝缘体材料均被用作稀土掺杂发光材料的基质材料<sup>0</sup>。宽带隙基质材料降低了稀土发光的温度猝灭效应, 有利于得到稳定的室温发射, 从而提高荧光粉的热稳定性。

$\text{Eu}^{3+}$ 离子由于具有相对简单的能级结构, 较高的量子效率以及对局域环境具有高敏感性等特点, 常被用来研究材料的基础物理特性。由 Judd-Ofelt 理论我们知道, 稀土离子 4f 能级间的跃迁会遵守跃迁选择定则。当  $\text{Eu}^{3+}$  处于有严格反演对称中心的格位时, 将发生允许的  $^5\text{D}_0 \rightarrow ^7\text{F}_1$  磁偶极跃迁, 而当  $\text{Eu}^{3+}$  处于仅稍微偏离反演对称中心的格位时, 将发生  $^5\text{D}_0 \rightarrow ^7\text{F}_2$  受迫电

偶极跃迁, 且这种跃迁对局域环境的对称性很敏感, 因此  $\text{Eu}^{3+}$ 所在基质晶格环境的对称性对  $\text{Eu}^{3+}$  的 4f 能级间的跃迁强弱具有显著的影响。有报道说电荷补偿引起的对称性的降低可增强  $\text{KMgF}_3$  基质中  $\text{Ce}^{3+}$  的 4f 壳层内部的电子跃迁<sup>[3][4]</sup>。通过降低  $\text{Eu}^{3+}$ 所在基质晶格的对称性,  $\text{YBO}_3:\text{Eu}^{3+}$  中  $\text{Eu}^{3+}$  的  $^5\text{D}_0 \rightarrow ^7\text{F}_2$  跃迁强度得到了提高<sup>00</sup>。因此, 具有多种较低对称性格位的宽带隙材料, 很适合作为  $\text{Eu}^{3+}$ 离子的掺杂基质。

具有低对称性格位<sup>错误! 未找到引用源。</sup>的宽带隙 (5.9 eV) 半导体 C12A7 无疑是稀土掺杂的优质候选基质材料之一。在本文中, 我们通过化学共沉淀法制备了 C12A7: $\text{Eu}^{3+}$ 粉末, 观测到了 C12A7: $\text{Eu}^{3+}$ 在可见区的室温发射, 通过激发谱和选择激发发射谱证明了  $\text{Eu}^{3+}$ 以替代的方式占据了 C12A7 晶格中不同 Ca 格位。

## 2 实验

### 2.1 C12A7: $\text{Eu}^{3+}$ 粉末的制备

**基金项目:** 国家自然科学基金资助项目(10874023)和新世纪优秀人才计划资助项目(NCET-08-0757)

### 2.1.1 实验试剂

采用化学共沉淀法制备  $12\text{CaO}\cdot7\text{Al}_2\text{O}_3\cdot0.5\text{at.\%Eu}^{3+}$  粉末。首先将化学计量比的  $\text{Eu}_2\text{O}_3$  加入适量的浓硝酸中，制得一定浓度的标准  $\text{Eu}(\text{NO}_3)_3$  溶液，再将化学计量比的  $\text{Al}(\text{NO}_3)_3\cdot9\text{H}_2\text{O}$  和  $\text{CaCl}_2$  在室温下溶于去离子水并向其中加入  $\text{Eu}(\text{NO}_3)_3$  溶液，制得澄清并且均匀的前驱体溶液之后，再将沉淀剂  $\text{NH}_3\cdot\text{H}_2\text{O}$  缓慢滴加到溶液中去。随后将所得的凝胶于  $100^\circ\text{C}$  烘干，放到高温炉中于  $1100^\circ\text{C}$  保温 8 小时，即得到了 C12A7:Eu 粉体。

### 2.2 样品的性能及表征

C12A7:Eu 粉末的结构采用 Rigaku D/max-RA 型 X 射线衍射仪( $\text{Cu K}\alpha$  辐射，波长为  $0.15418\text{ nm}$ )分析。激发谱和选择激发发射谱采用 Nd:YAG 激光器和 R6G-dye 激光器进行。

## 3 结果与讨论

如图 1 所示为 C12A7: 0.5 at.%Eu 样品在监测不同发射波长(a)  $612.5\text{ nm}$ , (b)  $615\text{ nm}$ , (c)  $619\text{ nm}$  and (d)  $631\text{ nm}$  下的激发谱。其中激发波长位于  $574.9\text{--}580.0\text{ nm}$  区间的激发谱与  ${}^7\text{F}_0\rightarrow{}^5\text{D}_0$  跃迁相关，由图可知，随  $\text{Eu}^{3+}$  掺杂浓度变化，激发谱的峰的数目与峰位均发生了改变。

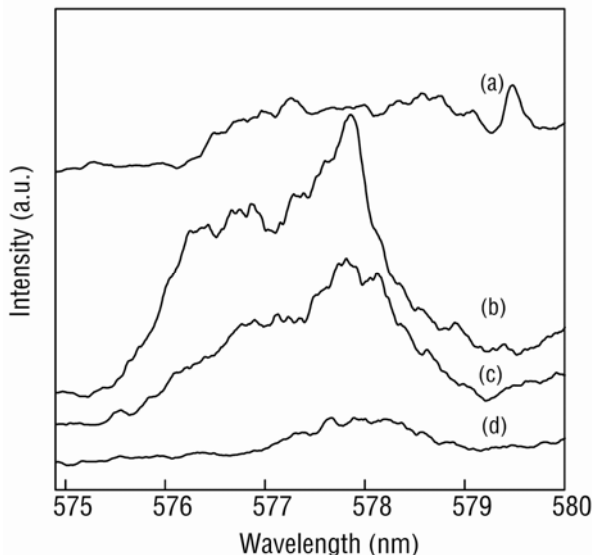


Fig 1 The excitation spectra of C12A7: 0.5 at.%Eu sample obtained by monitoring emission at (a)  $612.5\text{ nm}$ , (b)  $615\text{ nm}$ , (c)  $619\text{ nm}$  and (d)  $631\text{ nm}$ .

图 1 C12A7: 0.5 at.%Eu 样品在监测不同发射波长(a)  $612.5\text{ nm}$ , (b)  $615\text{ nm}$ , (c)  $619\text{ nm}$  和 (d)  $631\text{ nm}$  下的激发谱

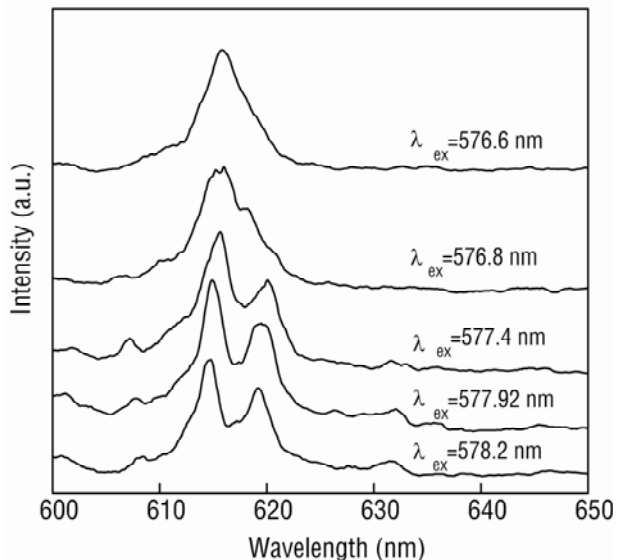


Fig 2 The emission spectra of C12A7: 0.5 at.%Eu sample under different wavelength excitation.

图 2 C12A7: 0.5 at.%Eu 的样品对应不同激发波长的发射谱

如图 2 所示为 C12A7:0.5 at.%Eu 样品对应不同激发波长的发射谱。在不同激发波长下，均有位于  $614\text{ nm}$  左右的发射峰，对应  ${}^5\text{D}_0\rightarrow{}^7\text{F}_2$  的跃迁，为受迫电偶极跃迁，这表明  $\text{Eu}^{3+}$  离子所处的格位不具有反演对称性中心。同时，当激发波长从  $576.6\text{--}578.2\text{ nm}$  变化时，随激发波长增加，逐渐出现一些新劈裂的发射峰，且发射峰的位置也随之发生了微小的移动。由图 1 和图 2 表明， $\text{Eu}^{3+}$  在 C12A7 中应占据两种格位。这可能是由于 C12A7 具有两种  $\text{Ca}^{2+}$  格位，因此  $\text{Eu}^{3+}$  取代  $\text{Ca}^{2+}$  导致 C12A7 中的  $\text{Eu}^{3+}$  离子具有两种格位。同时  $\text{Eu}^{3+}$  取代  $\text{Ca}^{2+}$  会通过形成其它负电缺陷(如  $\text{O}_2^{2-}$ ,  $\text{V}_{\text{Ca}}^{+}$  或  $\text{O}^{2-}$  等) 来补偿因取代带来的正电荷，以满足电中性的条件，而这些负电缺陷会降低基质的对称性，使  $\text{Eu}^{3+}$  处于不同的配位环境中。显然， $\text{Eu}^{3+}$  处于两种格位表明基质的对称性降低，这将增强  $\text{Eu}^{3+}$  的  $4\text{f}$  内层电子的跃迁，从而提高材料的发光强度。

## 4 结论

采用化学共沉淀法制备了 Eu 掺杂 C12A7 粉末，由于 C12A7 的宽带隙以及低对称性格位，使  $\text{Eu}^{3+}$  的禁戒跃迁得到解除。基于  ${}^5\text{D}_0\rightarrow{}^7\text{F}_0$  和  ${}^5\text{D}_0\rightarrow{}^7\text{F}_2$  的跃迁，通过研究其激发光谱和选择激发发射谱，我们认为  $\text{Eu}^{3+}$  在 C12A7 中占据两种不同的  $\text{Ca}^{2+}$  格位，这可能源于 C12A7 中不同的  $\text{Ca}^{2+}$  格位和不同的电荷补偿方式，C12A7:Eu 笼子中的氧离子基团可能参与电荷补偿作

用，而这种电荷补偿作用通过降低 Eu<sup>3+</sup>局域环境的对称性，提高了 Eu<sup>3+</sup>的光发射。

## References (参考文献)

- [1] Favanne P N, L'Haridon H and Salvi M. Moutonnet D, Le Guillou Y. Luminescence of erbium implanted in various semiconductors: IV, III-V and II-VI materials [J]. *Electron Lett*, 1989, 25: 718-719.
- [2] Kenyon A J, Recent developments in rare-earth doped materials for optoelectronics [J]. *Prog Quantum Electron*, 2002, 26: 225-284.
- [3] Manthey W J, Crystal Field and Site Symmetry of Trivalent Cerium Ions in CaF<sub>2</sub>: The C<sub>4v</sub> and C<sub>3v</sub> Centers with Interstitial-Fluoride Charge Compensator [J]. *Phys Rev B*, 1973, 8(9): 4086-4098.
- [4] Francini R, Grassano U.M, Landi L, Scacco A, D'Elena M, Nikl M, Cechova N and Zema N, Ce<sup>3+</sup> luminescent centers of different symmetries in KMgF<sub>3</sub> single crystals [J]. *Phys Rev B*, 1997, 56: 15109-15115.
- [5] Zhenggui Wei, Lingdong Sun, Chunsheng Liao, Chunhua Yan, Shihua Huang. Fluorescence intensity and color purity improvement in nanosized YBO<sub>3</sub>:Eu [J]. *Appl Phys Lett*, 2002, 80: 1447-1449.
- [6] Zhenggui Wei, Lingdong Sun, Chunsheng Liao, Jialu Yin, Xiaocheng Jiang, and Chunhua Yan. Size-Dependent Chromaticity in YBO<sub>3</sub>:Eu Nanocrystals: Correlation with Microstructure and Site Symmetry [J]. *J Phys Chem B*, 2002, 106: 10610-10617.
- [7] Peter V. Sushko, Alexander L. Shluger, Katsuro Hayashi, Masahiro Hirano, and Hideo Hosono. Mechanisms of oxygen ion diffusion in a nanoporous complex oxide 12CaO·7Al<sub>2</sub>O<sub>3</sub> [J]. *Phys Rev B*, 2006, 73: 014101-1-10.